ФИЗИКО-ХИМИЧЕСКИЙ АНАЛИЗ НЕОРГАНИЧЕСКИХ СИСТЕМ

УЛК 541.123

ФАЗОВЫЕ РАВНОВЕСИЯ С УЧАСТИЕМ ТВЕРДЫХ РАСТВОРОВ В СИСТЕМЕ Li-Eu-O

© 2023 г. Г. А. Бузанов^{а, *}, Г. Д. Нипан^а

^аИнститут общей и неорганической химии им. Н.С. Курнакова РАН, Ленинский пр-т, 31, Москва, 119991 Россия
*e-mail: gbuzanov@yandex.ru
Поступила в редакцию 24.07.2023 г.
После доработки 18.08.2023 г.
Принята к публикации 18.08.2023 г.

Методом рентгенофазового анализа и термогравиметрии исследованы фазовые равновесия с участием твердых растворов в системе Li—Eu—O в окислительной, инертной и восстановительной атмосферах при отжиге смесей различных прекурсоров, подвергнутых предварительной механохимической активации при температурах $400-1100\,^{\circ}$ C и парциальных давлениях $p_{\rm O_2}\sim 21$ и 0.01 кПа и $p_{\rm H_2}\sim 5$ кПа. Впервые оценена растворимость лития в EuO, которая составила не менее 50-60%, а для Eu₂O₃ и LiEu₃O₄ — по 30% от общей суммы катионов. Наряду с LiEuO₂, подтверждено образование кристаллических смешановалентных (Eu^{II} + Eu^{III}) фаз LiEu₃O₄ и Li₂Eu₅O₈. Изучено термическое поведение твердых растворов Eu_{1-x}Li_xO_{1-\delta} на основе монооксида европия и Li_{1+y}Eu₃O_{4-\gamma} на воздухе. Построена концентрационная фазовая диаграмма системы Li—Eu—O.

Ключевые слова: фазовые диаграммы, монооксид европия, многокомпонентые системы, спинтроника, гидрид лития, твердофазный синтез

DOI: 10.31857/S0044457X23601566, EDN: ZOBPGM

ВВЕДЕНИЕ

Система Li–Eu–O привлекает внимание изза возможности образования твердого раствора $Eu_{1-x}Li_xO$ со структурой галита, соединения LiEuO₂ со структурой α -NaFeO₂, производной от слоистой, а также смешановалентных ($Eu^{II} + Eu^{III}$) соединений $Li_2Eu_5O_8$ и $LiEu_3O_4$.

Монооксид европия EuO — первый объявленный ферромагнитный полупроводник [1–6], который характеризуется точками Кюри (парамагнитная Θ_C – 77 K [1] и ферромагнитная T_C – 69.4 K [7] или 66.8 К [8]) в области низких температур, что в совокупности с деградацией на воздухе [9] затрудняет его применение в технике. Для преодоления указанных недостатков чистого EuO были получены кубические твердые растворы типа $Eu_{1-x}M_xO$, где M — щелочноземельные (Mg—Ba) и редкоземельные металлы (Sm, Gd, Yb) [9-12]. Изоморфное замещение Eu на Mg не превышало 3%, а введение стронция и бария приводило к быстрой деградации $Eu_{1-x}M_xO$ на воздухе [9]. Наиболее устойчивый непрерывный твердый раствор Еи_{1-х}Са_хО позволяет сохранить температуру Кюри на уровне 75 К при введении до 20 мол. % СаО [9]. В твердых растворах, содержащих ионы Sm, Gd и

Уb, наблюдается рост T_C до 130 К и Θ_C до 150 К, что ограничено предельным замещением Еu на редкоземельные металлы, которое в случае самария достигает 14% [9]. Кроме того, твердые растворы с участием ионов лантаноидов $\mathrm{Eu}_{1-x}\mathrm{Ln}_x\mathrm{O}$, как и EuO , химически нестойки. Альтернативным способом увеличения температуры Кюри служит сжатие кубической решетки EuO за счет введения катиона меньшего радиуса. С этой точки зрения представляется интересным использование иона Li^+ , способного стабилизировать твердый раствор $\mathrm{Eu}_{1-x}\mathrm{Li}_x\mathrm{O}$.

Другим материалом из системы Li–Eu–O, представляющим интерес, является LiEuO₂ (Pnma), поскольку соединения LiREEO₂ (REE = Sc, Y, La-Lu), склонные к полиморфным превращениям [13, 14], могут участвовать в образовании твердых растворов со структурой, подобной α -NaFeO₂ [15], которая используется в качестве катодной матрицы литий-ионных аккумуляторов и матрицы для создания люминесцентных материалов [16]. Отдельный интерес представляет изучение магнитных свойств смешановалентных (Eu^{II} + Eu^{III}) фаз LiEu₃O₄ (Pbnm) [17, 18] и Li₂Eu₅O₈ (α -форма: B2/m, β -форма: A21am) [19], поскольку особенно-

сти свойств соединений, одновременно содержащих один и тот же ион лантаноида в двух различных степенях окисления, остаются малоизученными.

Необходимым условием получения эффективных функциональных материалов с воспроизводимыми свойствами, наряду с решением задачи синтеза вещества с заданным химическим и фазовым составом, является изучение фазовых равновесий с учетом возможности образования метастабильных состояний в широком диапазоне параметров: температуры, концентраций компонентов, парциального давления летучего компонента [20-23]. До настоящего времени систематические исследования фазовых равновесий в системах Li-REE-O не проводились, однако в обзорах и справочниках представлены Т-х-диаграммы (температура-состав) для граничных бинарных систем Li-O [24] и Eu-O [25], а также P-T-зависимости (давление-температура) для образующихся в этих системах оксидов [26]. Для системы Li-Eu характерно отсутствие взаимодействия компонентов [27].

В настоящей работе при использовании метода механохимической активации и последующего отжига при парциальных давлениях $P_{\rm O_2} \sim 21$ кПа и 10 Па, а также $P_{\rm H_2} \sim 5$ кПа исследованы фазовые равновесия в системе Li–Eu–O, определена растворимость лития в EuO, Eu₂O₃ и LiEu₃O₄. Наряду с EuO и LiEuO₂ подтверждено равновесное существование кристаллических фаз LiEu₃O₄ и Li₂Eu₅O₈. Изучено термическое поведение на воздухе однофазных образцов твердых растворов Eu(Li)O_{1- δ} и Li_{1+ ν}Eu₃O_{4- γ}. Впервые построена x- ν -проекция y-y-т-y-фазовой диаграммы системы Li–Eu–O с учетом образования твердых растворов.

ЭКСПЕРИМЕНТАЛЬНАЯ ЧАСТЬ

В качестве прекурсоров для синтеза поликристаллических образцов системы Li-Eu-O использовали карбонат лития Li₂CO₃ (99.99%) и сесквиоксид европия Eu_2O_3 (99.98%), которые предварительно прокаливали при 400 и 900°C соответственно, а также LiH (98%, по гидридному водороду). Смеси с заданным соотношением прекурсоров подвергали предварительной механохимической активации в течение 30 мин при частоте колебаний размольных стаканов (нержавеющая сталь, объем 25 мл, размольные шары диаметром 5 мм, соотношение масс шаров и прекурсоров ~20:1) 30 Гц в вибрационной мельнице Retsch MM400. Синтез на воздухе ($P_{\mathrm{O}_2}\sim 21~\mathrm{k\Pi a}$) проводили в алундовых тиглях (V=5–15 мл) в муфельной печи Nabertherm L5/11, продолжительность отжига составляла 2-3 ч, увеличение продолжительности отжига не приводило к изменению фазового состава образцов. Для отжига в среде или токе аргона высокой чистоты (99.9995% Ar) или смеси Ar + + 5% H_2 использовали горизонтальную кварцевую трубку-реактор, герметизированную при помощи шлифовых соединений в вакууме, которую обогревали снаружи в трубчатой печи; в этом случае использовали алундовые цилиндрические тигли с $d_{\text{внутр}} = 7$ мм, $d_{\text{внешн}} = 9$ мм и l = 35 мм. Во избежание потерь лития используемые алундовые тигли предварительно прокаливали с сухим Li_2CO_3 при 500°C .

Операции с образцами, чувствительными к компонентам воздуха, проводили в перчаточном боксе СПЕКС ГБ22М с рабочей атмосферой из аргона (\leq 5 и 10 ppm O_2 и H_2O соответственно).

РФА продуктов выполняли на рентгеновском дифрактометре Bruker D8 Advance (Си K_{α} -излучение, Ni-фильтр, детектор LYNXEYE, геометрия на отражение) в интервале углов $2\theta = 10^{\circ} - 80^{\circ}$ с шагом и временем накопления сигнала не менее 0.01125° и 0.3 с соответственно в низкофоновых кюветах с подложкой из ориентированного монокристаллического кремния в Центре коллективного пользования физическими методами исследования ИОНХ РАН. Для ТГ-ДСК-исследований до температуры 1000°С использовали термоанализатор SDT Q600, скорость нагрева составляла 10 град/мин, скорость газового потока – 100 мл/мин. Определение водорода в образцах, полученных с использованием гидридов, проводили с помощью элементного анализатора CHNS EuroEA 3000. Aнализ на металлы выполняли методом масс-спектрометрии с индуктивно связанной плазмой с помощью атомно-эмиссионного спектрометра с индуктивно связанной плазмой iCAP 6300 Duo, пробоподготовку осуществляли растворением исследуемого образца в соляной кислоте особой чистоты.

РЕЗУЛЬТАТЫ И ОБСУЖДЕНИЕ

Экспериментальные дифрактограммы образцов, полученных на воздухе из прекурсоров Li₂CO₃ и Eu_2O_3 , приведены на рис. 1. Так, при отжиге (700-1000°C, 2-10 ч) смесей указанных прекурсоров в соотношении, не превышающем 3:7, наблюдается образование твердого раствора (solid solution, ss) Li₂O в Eu₂O₃ ($Ia\overline{3}$, a = 1.0871 нм), рис. 1, кривая 3. Дальнейшее увеличение соотношения прекурсоров приводит к получению двухфазных образцов, состоящих из ss-Eu₂O₃ и LiEuO₂ (Pnma, a = 1.1406, b = 0.3480, c = 0.5323 нм), причем максимальное содержание второй фазы наблюдается при температуре 900°C (рис. 1, кривая 4). Увеличение температуры синтеза выше 900°C приводит к росту содержания ss-Eu₂O₃, что может быть связано как с сублимацией оксида лития, которая усиливается в атмосфере влажного воздуха [26],

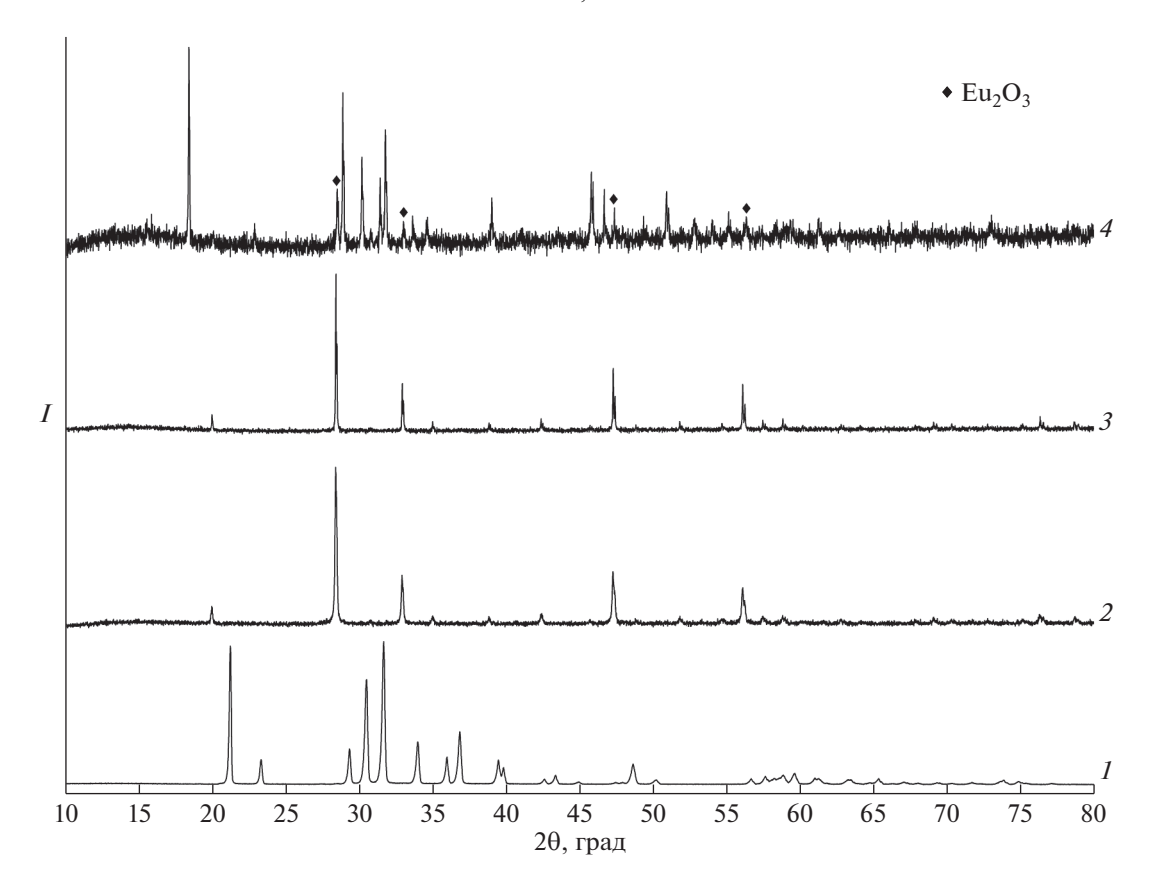


Рис. 1. Дифрактограммы прекурсоров и образцов, синтезированных на воздухе: $I - \text{Li}_2\text{CO}_3$, $2 - \text{Eu}_2\text{O}_3$, $3 - \text{Li}_2\text{CO}_3 + \text{Eu}_2\text{O}_3$ (3 : 7, 900°C, 2 ч), $4 - \text{Li}_2\text{CO}_3 + \text{Eu}_2\text{O}_3$ (1 : 1, 900°C, 2 ч), $♦ - \text{Eu}_2\text{O}_3$.

так и с ретроградной растворимостью в Eu_2O_3 . Получение однофазных препаратов $LiEuO_2$ становится возможным при соотношении Li_2CO_3 и $Eu_2O_3 > 7:3$.

Чистый Eu_2O_3 и $LiEuO_2$ не восстанавливаются смесью Ar + 5% H_2 по меньшей мере до 1000° С. Для получения фаз, содержащих Eu^{II} , в условиях твердофазного взаимодействия возможно применение гидрида лития [17-19, 28], который, являясь хрупким солеобразным веществом, в условиях эксперимента настоящей работы легко вводится в реакционную смесь при совместном помоле прекурсоров в мельнице. Спокойное течение реакций с участием LiH в данном случае обеспечивается как слабыми окислительными свойствами иона трехвалентного европия, так и значительным вкладом ковалентной составляющей в связь M-H [29].

Дифрактограммы образцов, полученных с использованием LiH в качестве восстановителя, приведены на рис. 2, 3. В зависимости от количества восстановителя, взятого для реакции, а также (в меньшей степени) от атмосферы (Ar или Ar + H_2) возможно получение как твердого раствора Li_2O в EuO со структурой каменной соли, так и смеша-

новалентных ($Eu^{II} + Eu^{III}$) соединений $Li_2Eu_5O_8$ или твердых растворов на основе $LiEu_3O_4$.

Так, отжиг эквимолярных смесей гидрида лития и сесквиоксида европия приводит к образованию многофазных образцов, состоящих из LiEuO₂, ss-Eu₂O₃, а также Li₂Eu₅O₈ двух модификаций (α -форма: B2/m, a=1.3390, b=0.9771, c=0.3538 нм, $\gamma=119.62^\circ$; β -форма: A21am, a=1.3201, b=1.7173, c=0.3557 нм), причем с ростом температуры от 650 до 750° C увеличивается содержание LiEuO₂ и α -модификации Li₂Eu₅O₈ (рис. 2), что согласуется с данными [19].

Однофазные образцы твердого раствора LiEu₃O₄ (*Pbnm*, a=1.1560, b=1.5361, c=3.4823 нм) образуются при отжиге смесей Eu₂O₃ и LiH, взятых в мольном соотношении 1: 2, при 650°C в атмосфере аргона высокой чистоты в течение 2 ч. Использование тока Ar + 5% H_2 для отжига смеси аналогичного состава приводит к получению препаратов ss-LiEu₃O₄, содержащих в качестве примеси β -Li₂Eu₅O₈ (620°C, 2 ч) и ss-EuO (650°C, 2.5–3 ч). рис. 3, кривые 2 и 3 соответственно. При использовании в качестве прекурсоров Eu₂O₃ и LiH однофазные образцы ss-EuO (Fm3m, a=0.5047 нм) образуются при отжиге (650°C, 2 ч) в токе аргона

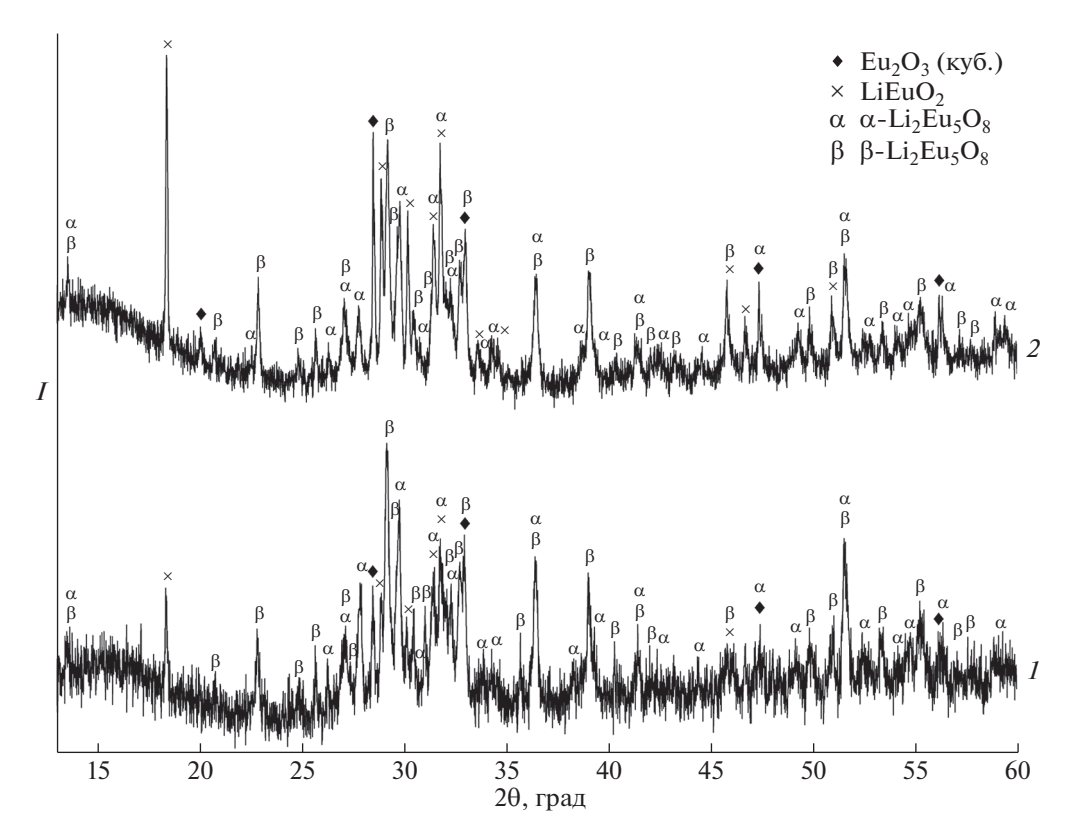


Рис. 2. Дифрактограммы препаратов, полученных при отжиге эквимолярных смесей Eu_2O_3 и LiH в токе газовой смеси Ar + 5% H₂: 1-650°C (2 ч), 2-750°C (3 ч), $◆-Eu_2O_3$ (куб.), $×-LiEuO_2$, $α-α-Li_2Eu_5O_8$, $β-β-Li_2Eu_5O_8$.

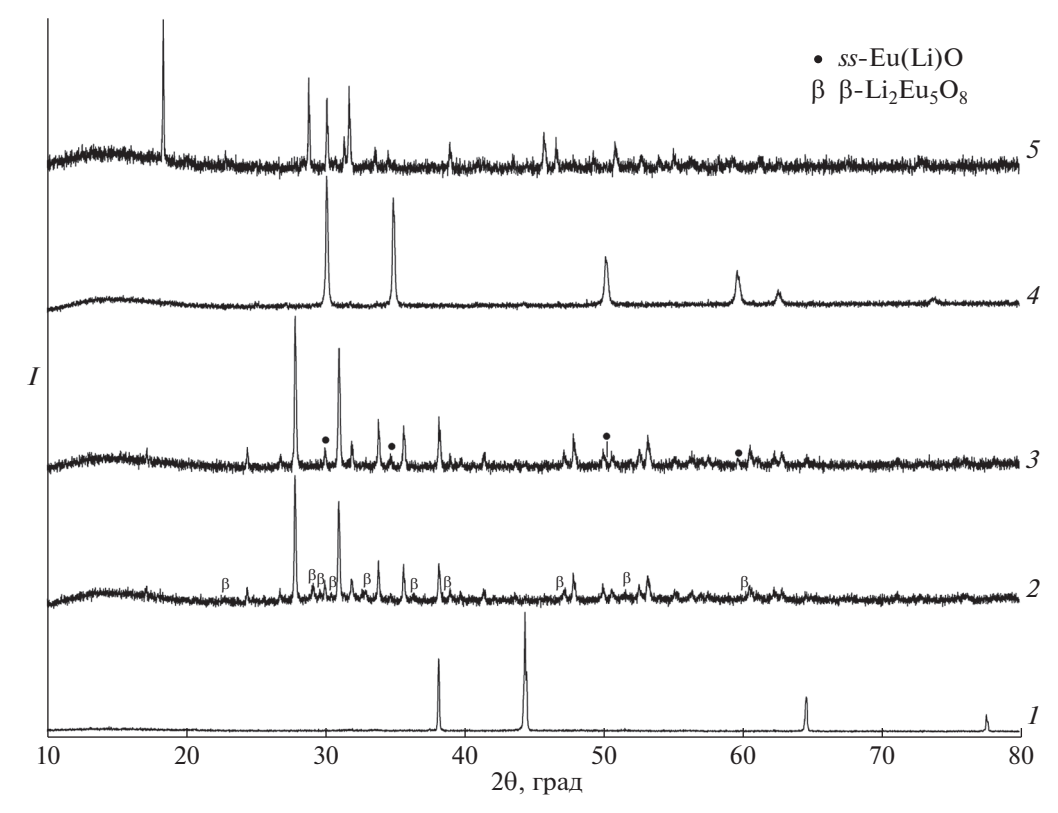


Рис. 3. Дифрактограммы образцов, полученных в инертной и восстановительной атмосфере: I- LiH (прекурсор), 2- Eu₂O₃ + 2LiH (620°C, 2.5 ч, Ar + 5% H₂), 3- Eu₂O₃ + 2LiH (650°C, 2 ч, Ar + 5% H₂), 4- Eu₂O₃ + 2.9LiH (650°C, 2 ч, Ar); 5- продукт окисления твердого раствора Eu_{0.5}Li_{0.5}O_{1- η} на воздухе в условиях $T\Gamma-$ ДСК-эксперимента $\beta-\beta$ -Li₂Eu₅O₈, • - ss-Eu(Li)O.

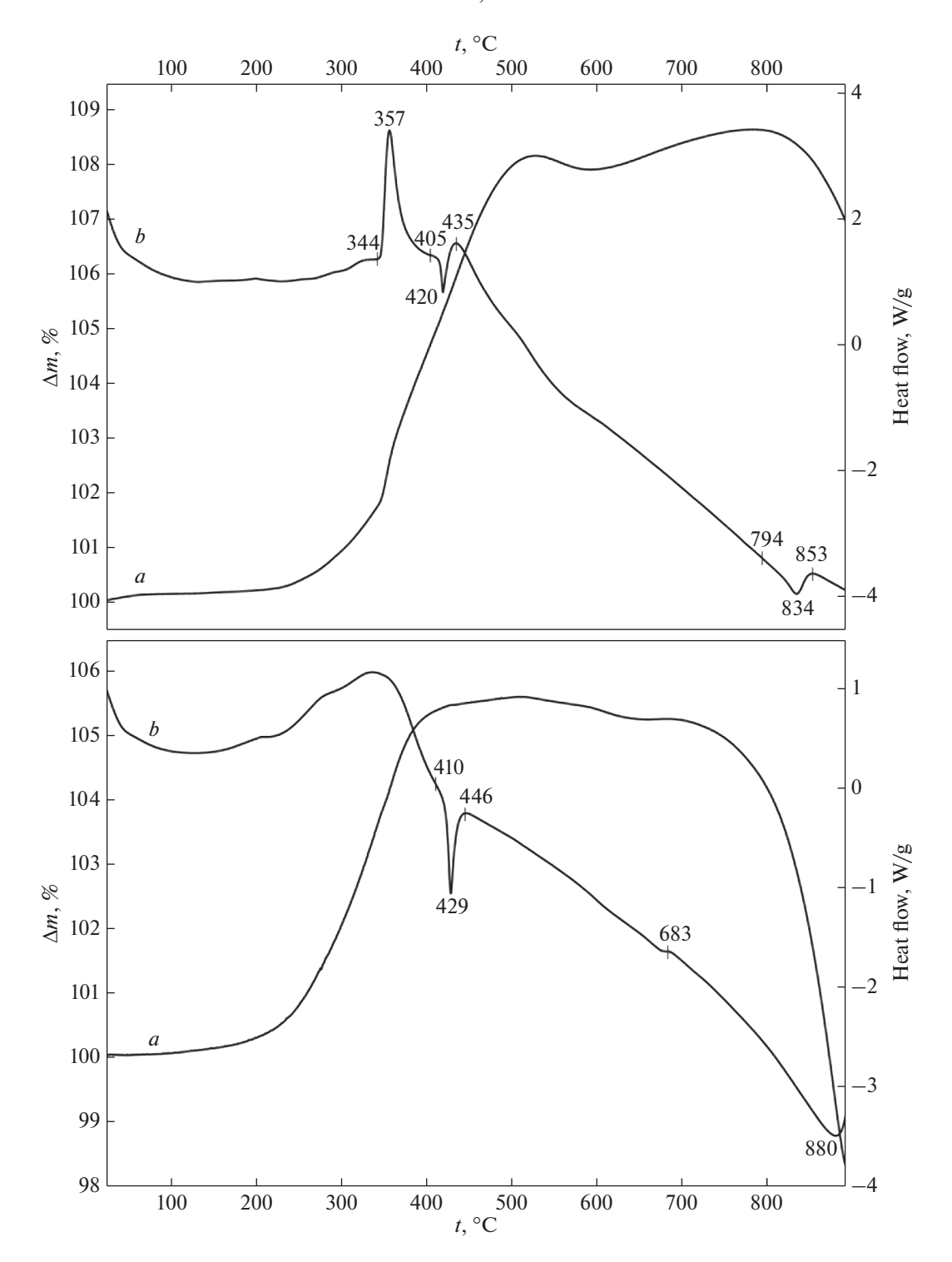


Рис. 4. Термограммы однофазных образцов твердых растворов на воздухе: верх — $\mathrm{Eu_{0.5}Li_{0.5}O_{1-\eta}}$, низ — $\mathrm{Li_{1.3}Eu_3O_{4-\zeta}}$; a — кривая изменения массы, b — дифференциальная кривая.

смесей с мольным соотношением LiH : $Eu_2O_3 = 2.9-3$: 1 (рис. 3, кривая 4). Полученные таким образом продукты не содержат в своем составе гидридного водорода.

 Φ аза Eu_3O_4 в условиях эксперимента в равновесиях не наблюдалась, что, вероятно, связано с обра-

зованием тройных соединений $LiEu_3O_4$ и $Li_2Eu_5O_8$ при восстановлении Eu_2O_3 гидридом лития.

Термическое поведение однофазных образцов твердых растворов на основе EuO и LiEu $_3$ O $_4$ на воздухе характеризуется тремя основными этапа-

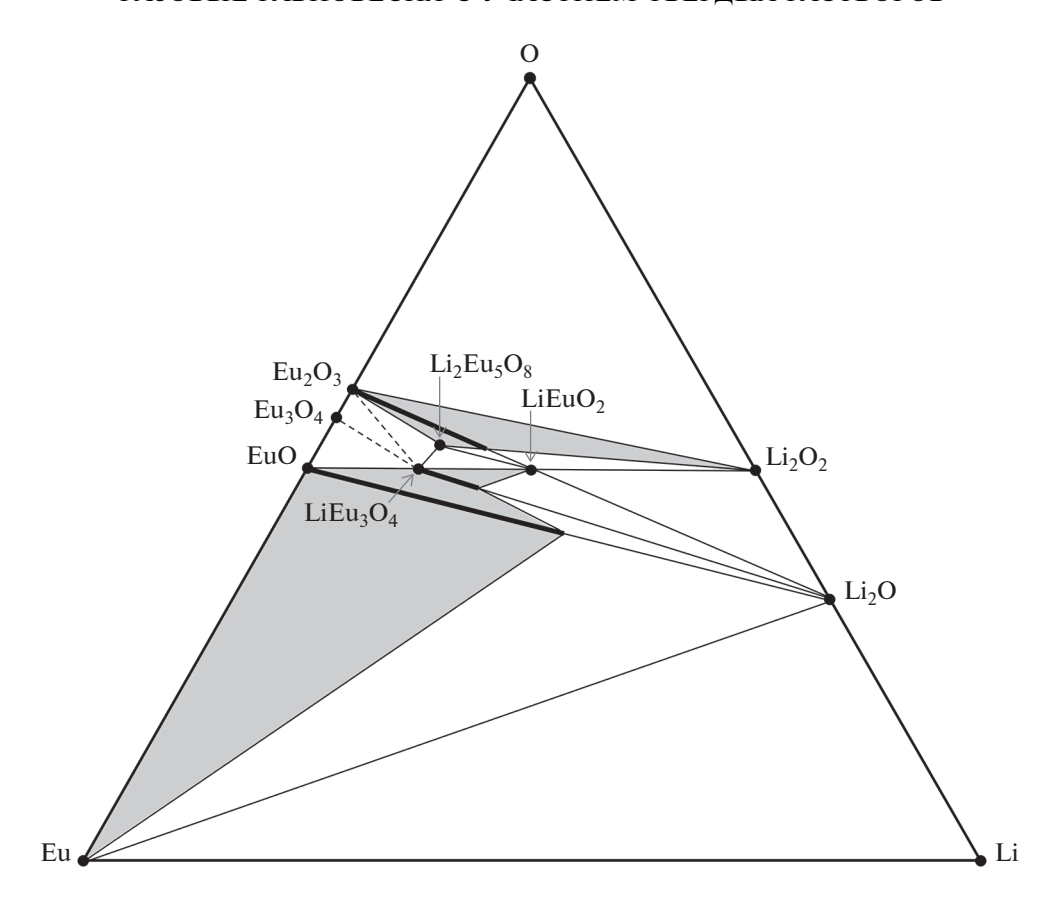


Рис. 5. x-y-Проекция P-T-x-y-фазовой диаграммы системы Li–Eu–O.

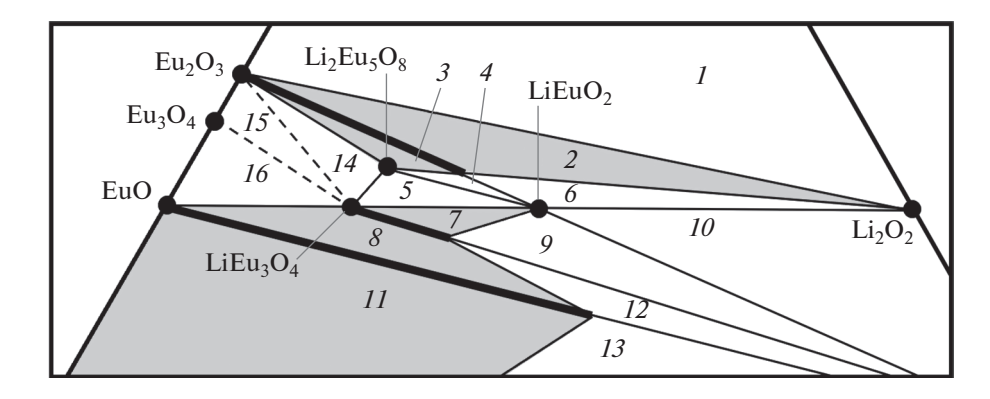


Рис. 6. Фрагмент x-y-проекции, демонстрирующий равновесия с участием твердых растворов.

ми: окислением, твердофазной реакцией образования $LiEuO_2$ с последующим плавлением. Твердый раствор $Eu_{0.5}Li_{0.5}O_{1-\eta}$ на воздухе начинает заметно присоединять кислород выше $240^{\circ}C$ (рис. 4). Значительный экзотермический эффект при $344^{\circ}C$ с максимумом при $357^{\circ}C$ связан с разрушением твердого раствора Li_2O в EuO со структурой NaCl и образованием твердого раствора на основе Eu_2O_3 , который при дальнейшем нагревании ($410-446^{\circ}C$) превращается в $LiEuO_2$ (рис. 3, кривая 5).

При 794°С начинает плавиться смесь LiEuO $_2$ с Li $_2$ O с образованием гомогенного расплава при 835°С. В случае твердого раствора Li $_{1.3}$ Eu $_3$ O $_{4-\zeta}$ наблюдается заметное поглощение кислорода выше 180°С, чему соответствует широкий экзоэффект (200—410°С), который, по-видимому, отражает наложение нескольких превращений, связанных с окислением фаз, содержащих Eu II . Аналогично Eu $_{0.5}$ Li $_{0.5}$ O $_{1-\eta}$ на термограмме Li $_{1.3}$ Eu $_3$ O $_{4-\zeta}$ наблюдается эндотермический эффект в интервале 410—446°С, который соответствует реакции синтеза

LiEuO₂ из образовавшегося на предыдущей стадии твердого раствора на основе Еи₂О₃. При 683°C, вероятно, происходит твердофазное преврашение, далее наблюдается плавление двухфазной смеси LiEuO₂ и Eu₂O₃ с образованием гомогенного расплава при 880°C. На основании полученных экспериментальных данных была построена x-y-проекция P-T-x-y-фазовой диаграммы системы Li-Eu-O с участием твердых растворов (рис. 5, 6). Полужирными линиями обозначены концентрационные области существования твердых растворов на основе EuO, Eu₂O₃ и LiEu₃O₄. Номера полей (рис. 6) соответствуют двухфазным равновесиям: $1 - \text{Li}_2\text{O}_2 - \text{Eu}_2\text{O}_3$, $2 - \text{ss-Eu}_2\text{O}_3 - \text{Li}_2\text{O}_2$, 3-ss-Eu₂O₃-Li₂Eu₅O₈, 7-LiEuO₂-ss-LiEu₃O₄, 8-ss-EuO-ss-LiEu₃O₄, 11-ss-EuO-Eu и трехфазным равновесиям: $4 - \text{LiEuO}_2 - \text{ss-Eu}_2\text{O}_2 - \text{Li}_2\text{Eu}_5\text{O}_8$. $5 - \text{LiEu}_3\text{O}_4 - \text{LiEu}\text{O}_2 - \text{Li}_2\text{Eu}_5\text{O}_8$, $6 - \text{ss-Eu}_2\text{O}_3 - \text{constant}$ $LiEuO_2-Li_2O_2$, 9 – $LiEuO_2-Li_2O$ –ss- $LiEu_3O_4$, 10 – LiEuO₂-Li₂O₂-Li₂O, 12 - Li₂O-ss-EuO-ss-LiEu₃O₄, 13 - Eu-Li₂O-ss-EuO. Равновесию Li-Li₂O-Eu соответствует нижняя правая часть х-у-проекции (рис. 5). Равновесия 14 (Eu₂O₃-Li₂Eu₅O₈-LiEu₃O₄), 15 (Eu₂O₃-Eu₃O₄-LiEu₃O₄) и 16 (Eu₃O₄-EuO-LiEu₃O₄) являются гипотетическими.

ЗАКЛЮЧЕНИЕ

На основании массива собственных экспериментальных данных, полученных при отжиге смесей прекурсоров с заданным элементным составом в окислительной, инертной и восстановительной атмосферах, построена x-y-проекция P-T-x-y-фазовой диаграммы системы Li-Eu-O, демонстрирующая фазовые равновесия с участием существующих в данной системе кристаллических фаз. Обнаружено существование протяженных твердых растворов Li_2O в EuO, Eu_2O_3 и LiEu_3O_4 . Для систем Li-REE-O подобное построение выполнено впервые.

БЛАГОДАРНОСТЬ

Элементный анализ (ICP-MS, CHNS) выполнен с использованием научного оборудования ЦКП "Исследовательский химико-аналитический центр НИЦ "Курчатовский институт".

ФИНАНСИРОВАНИЕ РАБОТЫ

Исследование выполнено при финансовой поддержке Российского научного фонда (проект № 23-23-00576).

КОНФЛИКТ ИНТЕРЕСОВ

Коллектив авторов заявляет об отсутствии конфликта интересов.

СПИСОК ЛИТЕРАТУРЫ

- Matthias B.T., Bozorth R.M., Van Vleck J.H. // Phys. Rev. Lett. 1961. V. 7. № 5. P. 160. https://doi.org/10.1103/PhysRevLett.7.160
- Schmehl A., Vaithyanathan V., Herrnberger A. et al. // Nature Mater. 2007. V. 6 P. 882. https://doi.org/10.1038/nmat2012
- Steeneken P.G., Tjeng L.H., Elfimov I. et al. // Phys. Rev. Lett. 2002. V. 88. P. 047201. https://doi.org/10.1103/PhysRevLett.88.047201
- 4. *Hasegawa Y.* // Chem. Lett. 2013. V. 42. № 1. P. 2. https://doi.org/10.1246/cl.2013.2
- 5. Lettieri J., Vaithyanathan V., Eah S.K. et al. // Appl. Phys. Lett. 2003. V. 83. P. 975. https://doi.org/10.1063/1.1593832
- Borukhovich A.S. // Mod. Electron. Mater. 2020. V. 6.
 № 3. P. 113.
 https://doi.org/10.3897/j.moem.6.3.54583
- Borukhovich A.S., Troshin A.V. Europium Monoxide Semiconductor and Ferromagnet for Spintronics. Springer Series in Materials Science. Springer, 2018. V. 265. 189 p. https://doi.org/10.1007/978-3-319-76741-3
- 8. *Королева Л.И*. Магнитные полупроводники. М.: Физический факультет МГУ, 2003. 312 с.
- 9. *Бамбуров В.Г., Борухович А.С., Самохвалов А.А.* Введение в физико-химию ферромагнитных полупроводников. М.: Металлургия, 1988. 206 с.
- 10. Parfenov O.E., Averyanov D.V., Tokmachev A.M. et al. // J. Condens. Matter Phys. 2016. V. 28. № 22. P. 226001. https://doi.org/10.1088/0953-8984/28/22/226001
- Kats V.N., Nefedov S.G., Shelukhin L.A. et al. // Appl. Mater. Today. 2020. V. 19. P. 100640. https://doi.org/10.1016/j.apmt.2020.100640
- 12. *Kabanov V., Korenyuk S., Fedorenko Y. //* Thin Solid Films. 2001. V. 400. № 1–2. P. 116. https://doi.org/10.1016/s0040-6090(01)01469-9
- 13. *Hashimoto Y., Wakeshima M., Matsuhira K. et al.* // Chem. Mater. 2002. V. 14. № 8. P. 3245. https://doi.org/10.1021/cm010728u
- 14. *Waintal A., Gondrand M.* // Mater. Res. Bull. 1967. V. 2. № 9. P. 889. https://doi.org/10.1016/0025-5408(67)90099-2
- 15. *Julien C.M.*, *Mauger A.*, *Zaghib K.*, *Groult H.* // Inorganics. 2014. V. 2. № 1. P. 132. https://doi.org/10.3390/inorganics2010132
- 16. *Cantwell J.R., Roof I.P., Smith M.D. et al.* // Solid State Sci. 2011. V. 13. № 5. P. 1006. https://doi.org/10.1016/j.solidstatesciences.2011.02.001
- Bärnighausen H. // Z. Anorg. Allg. Chem. 1970. V. 374.
 № 2. P. 201. https://doi.org/10.1002/zaac.19703740209
- Bärnighausen H. // Z. Anorg. Allg. Chem. 1967. V. 349.
 № 5-6. P. 280
 https://doi.org/10.1002/zaac.19673490508
- Nyokong T., Greedan J.E. // Inorg. Chem. 1982. V. 21.
 № 1. P. 398. https://doi.org/10.1021/ic00131a071

- 20. Buzanov G.A., Nipan G.D., Zhizhin K.Yu., Kuznetsov N.T. // Russ. J. Inorg. Chem. 2017. V. 62. № 5. P. 551. https://doi.org/10.1134/s0036023617050059
- 21. *Nipan G.D., Buzanov G.A., Zhizhin K.Y., Kuznetsov N.T.* // Russ. J. Inorg. Chem. 2016. V. 61. № 14. P. 1689. https://doi.org/10.1134/s0036023616140035
- Buzanov G.A., Nipan G.D., Zhizhin K.Y., Kuznetsov N.T. // Dokl. Chem. 2015. V. 465. V. 1. P. 268. https://doi.org/10.1134/s0012500815110063
- 23. *Buzanov G.A.*, *Nipan G.D.* // Russ. J. Inorg. Chem. 2022. V. 67. P. 1035. https://doi.org/10.1134/S0036023622070051
- 24. *Chang K., Hallstedt B.* // CALPHAD. 2011. V. 35. P. 160. https://doi.org/10.1016/j.calphad.2011.02.003

- 25. *Massalski T.B.* Binary Alloy Phase Diagrams 2nd edition. ASM International, Materials Park, Ohio, USA. 1990. 3589 p.
- 26. *Казенас Е.К.*, *Цветков Ю.В*. Испарение оксидов. М.: Наука, 1997. 542 с.
- 27. *Sun Y., Qiao Z.* // High Temp. Mater. Process. 1999. V. 3. № 1. P. 125. https://doi.org/10.1615/HighTempMatProc.v3.i1.110
- 28. *Rudolph D., Enseling D., Jüstel T., Schleid T. //* Z. Anorg. Allg. Chem. 2017. V. 643. № 21. P. 1525. https://doi.org/10.1002/zaac.201700224
- 29. *Nakajima H., Nohira T., Ito Y. //* Electrochem. Solid-State Lett. 2004. V. 7. № 5. P. E27. https://doi.org/10.1149/1.1664052